

熄灭阳极效应机理¹

王克复

(郑州轻金属研究院)

摘要

用电场极化和电吸附观点探讨了铝电解中的熄灭阳极效应机理，并以氧化铝浓度和临界电流密度相联系，分析了熄灭自然阳极效应和诱发阳极效应成败的因果关系。

关键词：阳极效应 极化 电吸附

铝电解时发生的阳极效应(AE)，是由于电解质中的氧化铝(Al_2O_3)贫乏，阳极底掌近区形成气膜、阻滞电流通过所致。然而，关于气膜成因，有人认为是 Al_2O_3 贫乏造成的湿润性改变，另有人认为 Al_2O_3 贫乏的本身是阳极气泡荷电量改变造成的，也有人认为发生 AE 是由于阳极过程的改变，即氟放电所致、等等，众说纷纭。本文则从电场极化与电吸附观点来探讨气膜的成因，并且试图以去极化论点来建立熄灭 AE 机理。

1 阳极效应机理

我们采用自行研制的一种小型惰性快速测量铝电解槽内 Al_2O_3 浓度的传感器(见图 1)，于 1990 年底测量了 64 台预焙槽内的 Al_2O_3 浓度值。其中，2 台浓度为 2.2 wt.-% 和 1.7 wt.-% 的槽，测后不久即发生 AE；其余浓度为 3 wt.-% 以上的槽，15 min 内未见发生 AE。另用由热压成型氮化硼作绝缘套管制成的传感器测量了 23 台自焙槽内的 Al_2O_3 浓度值，其中，有 1 台浓度为 1.68 wt.-%(化学分析为 1.66 wt.-%)的槽不到 1 min 即发生 AE。其余高浓度槽在 15 min 内也未见发生 AE。从上述情况分析，工业铝电解槽的电解

质缺 Al_2O_3 是发生 AE 的主要诱因。 Al_2O_3 缺乏导致氧离子放电不足、电子流减少、槽电压升高；并促使氟氧离子联合放电，生成四氟化碳(CF_4)。该气体为极性分子、电偶矩为 $D = 1.83$ 德拜。

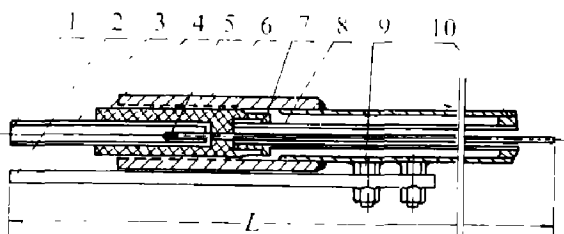


图 1 Al_2O_3 浓度传感器

- 1—阳极板; 2—阴极板; 3—绝缘层;
- 4—绝缘管; 5—阳极杆; 6—钢套;
- 7—105 粘结剂; 8—瓷管;
- 9—粘结剂; 10—螺杆螺母

无论是非极性分子或极性分子，在电场作用下都会产生与电场方向相反的诱导偶极矩，其表达式为：

$$M = a_1 E \quad (1)$$

式中 a_1 为极化率； E 为电场强度

CF_4 和 CO 、 CO_2 等气体按(1)式获得电偶极矩后，便在阳极下—并形成气膜。气膜极化过程大约在 $10^{-15} \sim 10^{-16}$ s 内完成。因此，可以

断定阳极表面析出气体形成气膜的过程也是非常迅捷的。

极化了的气体分子受到的阳极电场吸力、原则上可用库伦定律表达:

$$F = kQ_1Q_2 / r^2 \quad (2)$$

式中 Q_1 , Q_2 分别为阳极电荷和气体分子极化后生成的电荷; r 为电荷间距。因 r 很小, F 较大, 极化了的气膜被阳极紧紧地吸附着。同时, 排挤电解质溶液阻滞其与阳极表面的接触。

气膜在高温(950~1050 °C)、高电场(8×10^{11} V/m)下被电离, 首先出现小弧光放电, 导致近区电场强度迅速降低、弧光自行熄灭。接着, 电场强度再度增加, 弧光放电再次出现。形成弧光起燃与熄灭周而复始地进行的局面。这是弧光本身近似于差复激发电机伏安软特性所确定的行为, 也是在阳极周边经常出现此起彼伏的闪烁小弧光的根源。

2 熄灭阳极效应机理

既然铝电解中的 AE 源于气体分子电场极化与电吸附所膜。那么, 将电解槽的阴阳极短路, 使气膜的电场强度趋近于零, 则极化将不复存在、电吸附将被消失。这个熄灭 AE 的办法要比高频去极化法简单得多。对此, Paulsen 等作了有关实验, 现据其叙述内容绘制成原理示意图, 见图 2。该法的实质为: 当发生 AE 时, 气动开关 K 自动闭合, AE 立即熄灭。

由于当时选用的开关是普通开关, 动静触点常出现烧焊连结现象, 为此串联了铝保险片 B, 以便当开关不能断开时靠 B 熔断来恢复电解槽的工作。这种简单的短路去极化熄灭 AE 法, 不仅速度快, 而且可以自动化, 又能用计算机程控。

此外, 还有用大耙子扒阳极底掌, 用压缩空气吹动、用漏铲搅动电解质等传统处理办法。这些方法的实质都是破坏部分气膜层, 使这小面积阳极表面与电解质和铝液有较好的接

触, 让大量电流由阳极通过。未被破坏的气膜则承受效应电压, 以此产生突然性短路降压。前被极化的气体分子正、负电荷中心恢复极化前的位置, 或者互相重合, 这样, 这些气体就不再显电性而成为中性分子, 且不受阳极电场束缚, 并随着电解质的不断旋转流动而逃逸。其结果, 气膜被破坏, AE 被熄灭。

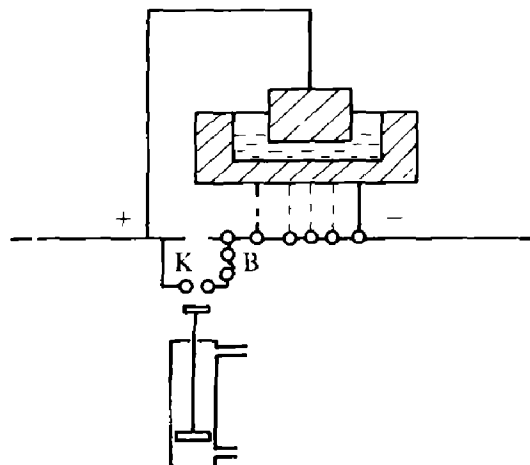


图 2 短路法去 AE 示意图^[7]

所有熄灭 AE 的办法都必须及时补加 Al_2O_3 , 否则, 熄灭后 AE 可能复发。因此, Paulsen 等提出: 在开关短路熄灭 AE 前、加料后须等待 2 min 以便补充氧离子, 使它对阳极得到正常放电。

3 实验

我们研制成一种线性积分电源, 将它的正负极接到 Al_2O_3 浓度计传感器的对应电极上。然后, 放入盛满 950 °C 左右的电解质的槽中, 在 1 min 内将电源电压从零升到 5.5 V 左右, 使出现峰值电流。这时气膜阻挡层形成, 阳极电流趋近于零。而后将电源回归零位, 使气膜消失、AE 熄灭。如是重复, 便可在函数记录仪上记下一个又一个的阳极电流和反极化电流波形。见图 3。需要指出的是, 在坩埚中的电解质没有流动、对阳极表面不存在冲涮力, 然而气膜仍可在电场变化条件下重复地生成或消失。从波形图可看出: 高浓度也可发生 AE。

以上实验表明, AE 的生成与熄灭是电场

强度增加或消失的结果，也是气体极化和电吸附或消失的结果。

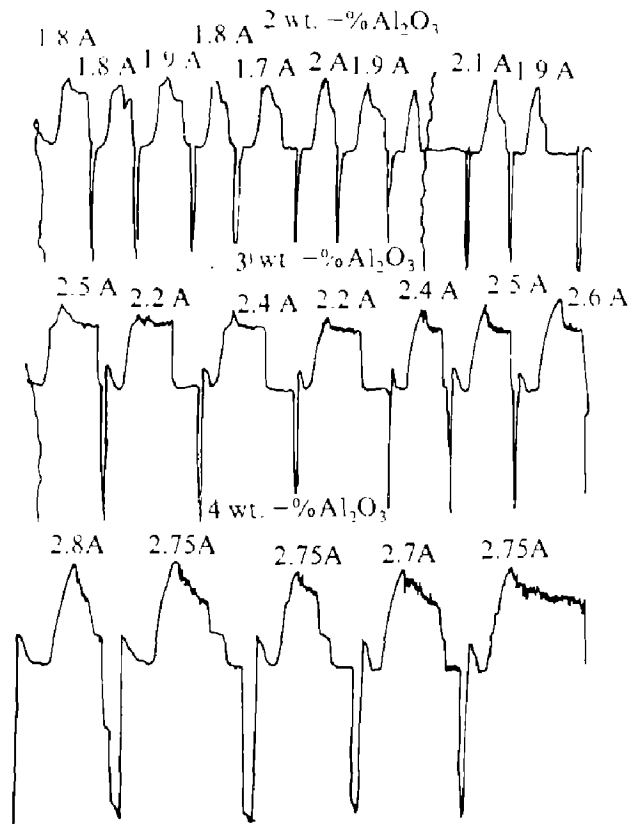


图3 阳极电流和反极化电流波形图

4 讨论

下面将 Al_2O_3 浓度和临界电流密度相联系，讨论熄灭自然(缺 Al_2O_3)AE 和熄灭诱发(提升阳极)AE 的成、败原因。为此，按照文献[2]的方法直行了试验，并获得图4所示结果。

图4中线左上方为AE区，右下方为工作区。设在工作点发生AE时，去极化短路开关立即自动闭合、AE立即熄灭。若工作点没有变化，则阳极电流密度值和 Al_2O_3 浓度也未变化，AE熄灭后必然复发。如果等待2 min让加入的 Al_2O_3 得到分解，工作点则从a点移至b点，此时 $\text{cd} < \text{ccd}$ ，AE熄灭后将不再复发。

若将阳极提升诱发AE后，又立即复位，工作点仍在d点。开关闭合，AE熄灭。

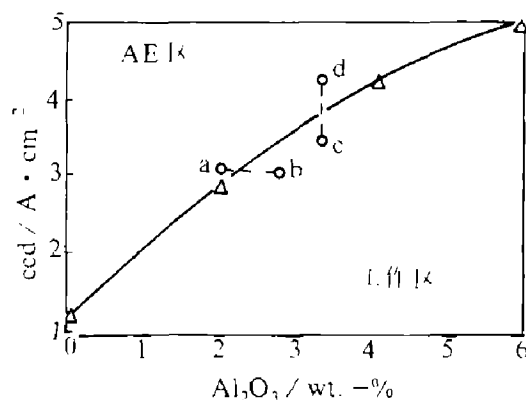


图4 Al_2O_3 浓度与临界电流密度(ccd)

5 结论

- (1) 理论分析实验证明，传统和开关熄灭AE法，都遵从短路去极化作用机理；
- (2) 开关短路去极化法能熄灭铝电解中的AE，且有简单、自控程度高等优点，值得进一步研究开发。

参加有关实验的有张金平、张凤云、邱仕麟等十几名高级工程师和工程师，在编、审本文时又有张大有教授给与多方面的指导和帮助。作者愿借此机会向他们一并表示感谢。

参考资料

- 1 邱竹贤. 治金物理化学. 上海: 科技出版社, 1985. 166-171.
- 2 王克复、张凤云. 铝镁通讯, 1988, (1): 6-12.
- 3 谢有畅、邵美成. 结构化学(7 edn). 北京: 高等教育出版社, 2008.
- 4 米哈依洛夫 M M(著)、张荣祥(译). 电工材料学(2 edn). 北京: 高等教育出版社, 1956. 44.
- 5 张明杰. 东北工学院学报, 1984, (1): 56.
- 6 Paulsen K A. In: Light Metals, 1986, 377-383.
- 7 王克复、弘烈. 见: 刘金朴、尹守义主编. 首届轻金属冶金学术会议论文集. 郑州, 1986. 9.